

一体式超高灵敏化学发光成像仪

新品



产品特点

- ① 光子无损式成像技术
超高灵敏度、更宽定量范围
- ② TrueColor真彩还原技术
彩色marker, 更有助于判定目的条带的分子量
- ③ 智能曝光技术
一键成像, 轻松获取高清晰图像
- ④ 一体化设计
显示触摸屏设计, 无需外接电脑

彩色marker, 微光可见!

ChemiScope S7 全新技术升级 轻触指尖, 即刻获取高质量成像图片

ChemiScope S7 是一款高性能、智能化的化学发光成像仪, 采用全新光子无损式成像技术将样品直接与感光芯片接触, 提供无与伦比的高灵敏度和低噪声、宽动态范围图像, 让您可以同时捕获强、弱蛋白信号, 所有目标条带都清晰可见, 且背景干净。

ChemiScope S7 全新升级智能曝光技术自动计算最佳曝光时间, 轻触指尖便可获取高质量成像图片。智能化的工作流程加速成像过程, 用户无需培训便可轻松上手。

产品应用

化学发光检测

使用 HRP, AP 等底物的 Western blot, Southern Blot, Northern Blot 等印迹实验



上海勤翔科学仪器有限公司
上海市宝山区淞兴西路258号5C-102

电话:+86 21 6533 2202
传真:+86 21 6679 0200

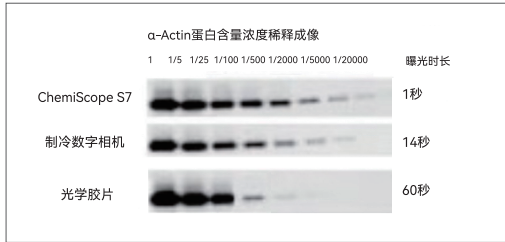
邮箱: info@clinx.cn
网址: www.clinx.cn

成像灵敏度更高、更清晰

ChemiScope S7利用光子无损式成像技术接触样品成像，对比传统数字制冷相机，S7将检测灵敏度和动态范围分别提升2个数量级，能够同时捕获强弱光信号并保持较低噪声水平，成像质量更高、更清晰。

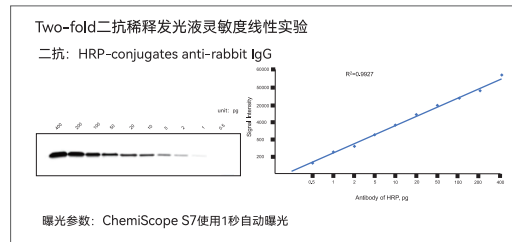
高灵敏度成像

对比光学胶片、传统制冷数字相机成像，ChemiScope S7使您能够看到以前无法检测到的蛋白质和核酸水平，成像速度更快、弱信号条带显示清晰可见。



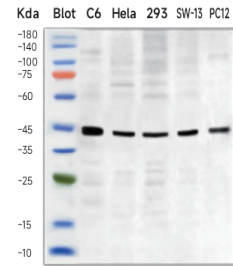
宽动态范围精准定量

ChemiScope S7拥有更宽的动态范围，线性程度更好，允许用户同时捕捉不同强度的强弱信号条带，低浓度样本在更强信号采集时，所有样本均无过饱和现象。



TrueColor真彩还原技术

ChemiScope S7 在拍摄marker 时可自动获取彩色marker图像，当彩色marker与化学发光条带叠加图象时，更有助于判定目的条带的分子量。



智能曝光技术，一键输出高品质图像效果

ChemiScope S7智能曝光技术能够自动调整最佳曝光时间，无需重复曝光即可获取理想信号，提供更准确、清晰和可靠的成像结果，为后续实验结果判读和数据分析提供可信赖的依据。

一体化设计，省去装机麻烦

ChemiScope S7集成触控屏于一体，设计紧凑灵活，大幅节省实验室空间。内置直观的、易于操作的软件，即插即用。此外，ChemiScope S7配有电脑接口可一键切换至外接电脑操作，满足不同用户使用习惯。



上海勤翔科学仪器有限公司
上海市宝山区淞兴西路258号5C-102

电话:+86 21 6533 2202
传真:+86 21 6679 0200

邮箱: info@clinx.cn
网址: www.clinx.cn

软件介绍

ChemiScope S7提供易用的机载图像采集软件，同时提供独立运行的电脑端图像分析软件，用于准确快速的图像调整和数据分析。



图像采集

- 01 具有自动拍摄、手动拍摄及多帧拍摄模式；
- 02 拍摄完成的所有图像在软件拍摄界面以小窗口全部显示，方便进行后续处理、查找、浏览；
- 03 软件具有自动拍摄marker图像，以及将marker图像与化学发光图像自动叠加的功能；
- 04 一次拍摄无需任何操作即可自动得到化学发光样品、彩色marker图、叠加图；
- 05 拍摄完成后自动生成和保存原始文件，富含原始数据信息(如：彩色marker图、化学发光图、叠加图、曝光时间、拍摄日期等)。

图像分析

- 01 具有图像旋转、裁切、反色等处理功能，确定合适的图像视野；
- 02 自动识别泳道条带，并且可以根据需要添加、删除、调整泳道，实现泳道和条带的精确分离；
- 03 自动计算泳道中各条带的灰度值；
- 04 分析结果可根据选择范围输出至Excel文件。

产品参数

系统参数	
分辨率	150万像素, 1470*1100
像素大小	100μm *100μm
像素密度	16bit(真实65536灰阶)
成像面积	147mm*110mm
曝光模式	自动曝光 手动曝光 序列曝光
曝光时间	最小0.1秒, 最大200秒
软件及图像输出	
软件	预置程序, 一键成像
图像输出及存储	8-bit,16-bit tiff标准格式, 16-bit clx自定义格式, 本机存储或外插U盘存储
配置	
辅助光源	LED光谱范围420nm-790nm
样品台	电动样品台, 不同颜色指示灯显示样品台工作状态
主机接口	两个USB3.0, 一个千兆网口
显示触控屏	带多点触控的10.1英寸宽视角真彩色显示屏
产品规格	
仪器尺寸	340*290*320mm
最大重量	15Kg
工作环境	温度10-28℃ 湿度15-70%
存储环境	温度-10-55℃ 湿度10-80%
输入电源	100V-240V交流电源, 50Hz/60Hz



上海勤翔科学仪器有限公司
上海市宝山区淞兴西路258号5C-102

电话:+86 21 6533 2202
传真:+86 21 6679 0200

邮箱: info@clinx.cn
网址: www.clinx.cn

标注使用勤翔产品的部分文献

- A vaccine targeting the RBD of the S protein of SARS-CoV-2 induces protective immunity, *Nature*, 2020
- Teosinte ligule allele narrows plant architecture and enhances high-density maize yields, *Science*, 2019
- Pore architecture of TRIC channels and insights into their gating mechanism, *Nature*, 2016
- YAP drives fate conversion and chemoresistance of small cell lung cancer, *Science Advances*, 2021, 7(40): eabg1850 13.117
- Co-delivery of IOX1 and doxorubicin for antibody-independent cancer chemo-immunotherapy, *Nature communications*, 2021, 12(1): 1-17. 12.353
- GCG inhibits SARS-CoV-2 replication by disrupting the liquid phase condensation of its nucleocapsid protein, *Nature communications*, 2021, 12(1): 1-14. 12.353
- Fluorescent on-site detection of multiple pathogens using smartphone-based portable device with paper-based isothermal amplification chip, *Microchimica Acta* volume, 2022.8.16
- A cryostat-based frozen section method to increase the yield of extracellular vesicles extracted from different tissues, *BIOTECHNIQUES*, 2022.08.10
- Near-Infrared Light-Controlled and Real-Time Detection of Osteogenic Differentiation in Mesenchymal Stem Cells by Upconversion Nanoparticles for Osteoporosis Therapy, *ACS NANO*, 2022.05.15
- Near-Infrared Light-Controlled Activation of Adhesive Peptides Regulates Cell Adhesion and Multidifferentiation in Mesenchymal Stem Cells on an Up-Conversion Substrate, *Nano Letters*, 2022.03
- pH-responsive delivery of H₂ through ammonia borane-loaded mesoporous silica nanoparticles improves recovery after spinal cord injury by moderating oxidative stress and regulating microglial polarization, *Regenerative Biomaterials*, 2021.12
- Generation and characterization of stable pig pregastrulation epiblast stem cell lines, *Cell Research*, 2021: 1-18 25.6.
- pH-responsive delivery of H₂ through ammonia borane-loaded mesoporous silica nanoparticles improves recovery after spinal cord injury by moderating oxidative stress and regulating microglial polarization, *Regenerative Biomaterials*, Volume 8, Issue 6, Dec 2021, Published: 15 Nov. 2021
- A small and highly sensitive red/far-red optogenetic switch for applications in mammals, *Nature Biotechnology*, 2021: 1-11. 50
- The self-assembled nanoparticle-based trimeric RBD mRNA vaccine elicits robust and durable protective immunity against SARS-CoV-2 in mice, *Signal transduction and targeted therapy*, 2021, 6(1): 1-11 18.18
- Virus-mimetic DNA-ejecting polyplexes for efficient intracellular cancer gene delivery, *Nano Today*, 2021, 39: 101215. 20.722
- Global identification of phospho-dependent SCF substrates reveals a FBXO22 phosphodegron and an ERK-FBXO22-BAG3 axis in tumorigenesis, *Cell Death & Differentiation*, 2021: 1-13 15.8
- Horizontal gene transfer and gene duplication of β -fructofuranosidase confer lepidopteran insects metabolic benefits, *Molecular Biology and Evolution*, 2021. 16.240
- Genetic hybridization of highly active exogenous functional proteins into silk-based materials using “light-clothing” strategy,



上海勤翔科学仪器有限公司
上海市宝山区淞兴西路258号5C-102

电话:+86 21 6533 2202
传真:+86 21 6679 0200

邮箱: info@clinx.cn
网址: www.clinx.cn